

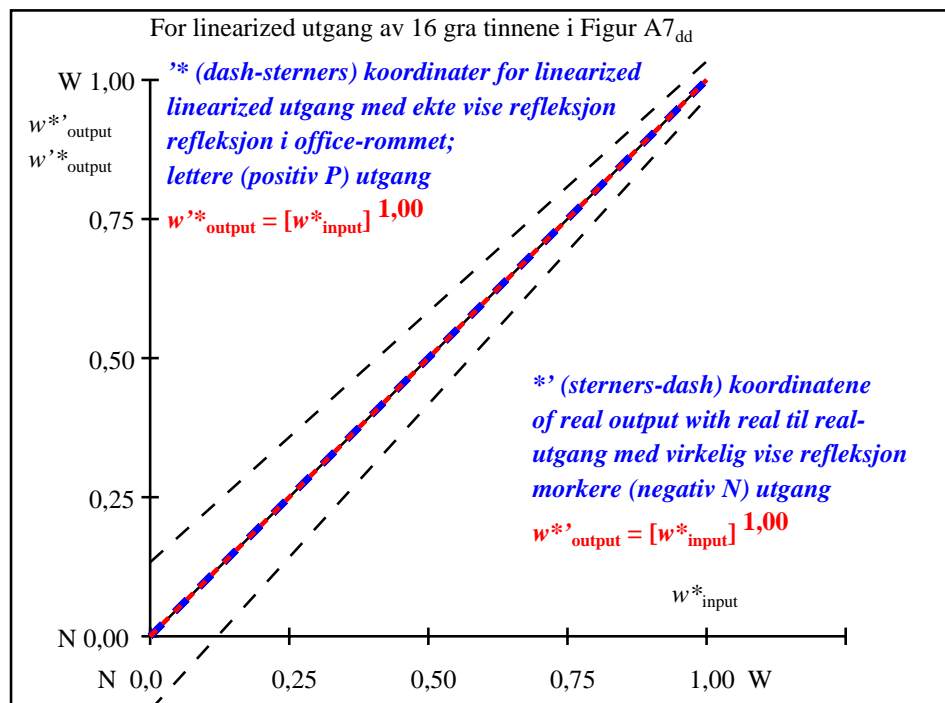
se lignende filer: <http://farbe.li.tu-berlin.de/AN59/AN59L3NA.TXT>
 teknisk informasjon: <http://farbe.li.tu-berlin.de/AN59/AN59L3NA.TXT> eller <http://farbe.li.tu-berlin.de/AE.HTM>

TUB Registrering: 20190301-AN59/AN59L3NA.TXT /.PS
 anvendelse for måling av display og utskriftsutgang
 TUB-materiell: code=rh4ta

<i>i</i>	LAB^*_{ref}	l^*_{out}	LAB^*_{out}	$LAB^*_{out-ref}$	ΔE^*	til utgang S1
1	0,00	0,00	0,00	0,00	0,00	Spesifikasjon i henhold ISO/IEC 15775 Annex G og DIN 33866-1 Annex G
2	6,36	0,00	0,06	6,36	0,00	
3	12,72	0,00	0,13	12,72	0,00	
4	19,08	0,00	0,20	19,08	0,00	
5	25,44	0,00	0,26	25,44	0,00	
6	31,80	0,00	0,33	31,80	0,00	
7	38,16	0,00	0,40	38,16	0,00	
8	44,52	0,00	0,46	44,52	0,00	
9	50,88	0,00	0,53	50,88	0,00	
10	57,24	0,00	0,60	57,24	0,00	
11	63,60	0,00	0,66	63,60	0,00	
12	69,96	0,00	0,73	69,96	0,00	
13	76,32	0,00	0,80	76,32	0,00	
14	82,68	0,00	0,86	82,68	0,00	Gjennomsnittlig skryt forskjellen (16 trinn) $\Delta E^*_{CIELAB} = 0,0$
15	89,04	0,00	0,93	89,04	0,00	
16	95,41	0,00	1,00	95,41	0,00	
17	0,00	0,00	0,00	0,00	0,00	
18	23,85	0,00	0,25	23,85	0,00	
19	47,70	0,00	0,50	47,70	0,00	Gjennomsnittlig skryt forskjellen (5 trinn) $\Delta L^*_{CIELAB} = 0,0$
20	71,55	0,00	0,75	71,55	0,00	
21	95,41	0,00	1,00	95,41	0,00	

Gjennomsnittlig fargegjengivelse indeks: $R^*_{ab,m} = 99,9$

artikkelen 1, AN590-3dd: 00302



artikkelen 2, AN591-3dd: 00302

$L^*/Y_{intendert}$ (absolutt)	0,0/0,0	6,3/0,7	12,7/1,5	19,0/2,7	25,4/4,5	31,8/6,9	38,1/10,1	44,5/14,2	50,8/19,1	57,2/25,1	63,6/32,3	69,9/40,7	76,3/50,4	82,6/61,5	89,0/74,2	95,4/88,5
$w^* w^* w^*$ setrgb																
$g_p=1,000$																
Nr. og Hex-code	00;F	01;E	02;D	03;C	04;B	05;A	06;9	07;8	08;7	09;6	10;5	11;4	12;3	13;2	14;1	15;0
$w^*=l^*_{CIELAB, r}$ (relativ)																
$w^*_{intendert}$	0,000	0,067	0,133	0,200	0,267	0,333	0,400	0,467	0,533	0,600	0,667	0,733	0,800	0,867	0,933	1,000
w^*_{output}	0,000	0,067	0,133	0,200	0,267	0,333	0,400	0,467	0,533	0,600	0,667	0,733	0,800	0,867	0,933	1,000

artikkelen 3, Figur A7dd: 16 visuelle ekvidistante L^* -gråtrinns; PS operator: $w^* w^* w^*$ setrgbcolor

artikkelen 3, Figur A7dd: 16 visuelle ekvidistante L^* -gråtrinns; PS operator: $w^* w^* w^*$ setrgbcolor AN590-7dd: 00302